

طراحی قانون هدایت بهینه غیرخطی برای اهداف با مانور بالا براساس روش معادلات ریکاتی وابسته به حالت

علیرضا بابایی^۱، سید محمد رضا ستاینده^۲

۱ استادیار، مجتمع دانشگاهی مکانیک و هوافضا، دانشگاه صنعتی مالک‌اشتر، اصفهان، arbabaei@aut.ac.ir

۲ دانشجوی دکتری، مجتمع دانشگاهی مکانیک و هوافضا، دانشگاه صنعتی مالک‌اشتر، اصفهان

تاریخ دریافت: ۱۳۹۴/۰۸/۰۹

تاریخ پذیرش: ۱۳۹۵/۱۲/۱۲

چکیده

در این مقاله با استفاده از روش کنترل بهینه معادلات ریکاتی وابسته به حالت، یک قانون هدایت جدید برای موشک بر علیه اهداف با قابلیت مانور بالا طراحی شده است. دلیل استفاده از روش معادلات ریکاتی وابسته به حالت، عدم نیاز این روش به خطی‌سازی معادلات حاکم بر دینامیک مسئله و ساده‌بودن آن در پیاده‌سازی است. هدف از انجام این تحقیق ارائه قانون هدایتی است که بتواند نقصان قوانین هدایتی کلاسیک را برای اهداف با مانور بالا جبران کند و همچنین مقایسه‌ای بین قوانین هدایتی کلاسیک ناوبری تناسبی و تعقیب محض با قانون هدایتی ارائه‌شده صورت گیرد. گفتنی است معيار بررسی سه قانون مطرح شده، مجموع شتاب واردہ بر موشک و زمان نهایی مورد نیاز برای اصابت به هدف در نظر گرفته شده است. لذا در سه حالت هدف ثابت، هدف متغیر با سرعت ثابت و هدف متغیر با شتاب (سرعت متغیر) و به ازای شرایط اولیه مختلف این قوانین با هم مقایسه و محدوده کاربردی هر یک مشخص شده است. در پایان با هدف بررسی رفتار قوانین و تعیین وابستگی هر کدام به پارامترهای مختلف، آنالیز حساسیتی به ازای تعییر در پارامترهای اساسی صورت انجام شده است.

واژگان کلیدی

موشک، قوانین هدایتی، روش کنترل بهینه معادلات ریکاتی وابسته به حالت

۱. مقدمه

که ابتدا لازم است قانونی هندسی وضع شود؛ به طوری که براساس آن بتوان به هدف دست یافت. دوم آنکه الگوریتمی تحت عنوان قانون هدایت راهنمایی شود تا بتوان قانون هندسی را اجرا کرد. دو قانون معروف که کاربردهای فراوانی دارند عبارت‌اند از قوانین هدایتی ناوبری تناسبی و تعقیب محض. در قانون هدایت ناوبری

برای پرواز موفق یک وسیله پرنده بدون سرنشین، سه سیستم مختلف باید همزمان فعال و با هم در ارتباط باشند: سیستم کنترل، سیستم هدایت و سیستم ناوبری. سیستم هدایت مجموعه‌ای است متشکل از سخت‌افزار و نرم‌افزار که موقعیت فعلی وسیله پرنده را با موقعیت مناسب می‌سنجد [۱]. فرایند هدایت سلسه‌مراتبی دارد

تناسبی فرمان شتابی که برای پرنده صادر می‌شود متناسب با نرخ تغییر زاویه خط دید بین پرنده و هدف است. این قانون از نظر حداقل بودن انتگرال مربع شتاب مورد نیاز برای پرنده بهینه است [۲].

ایدها اصلی قانون هدایتی تعقیب محض آن است که پرنده باید همیشه به سمت موقعیت فعلی هدف باشد. این قانون هدایتی به شتاب‌های جانبی بالا می‌انجامد که در اغلب موارد در فاز پایانی برخورد بینهایت می‌شود [۳]. قوانین هدایتی کلاسیک استخراج شده مانند قوانین ناوبری تناسبی و تعقیب محض، زمانی می‌توانند مؤثر باشند که وسیله پرنده مانند موشک به طور قابل توجهی دارای قابلیت مانور بیشتری نسبت به تهدید یا خطر باشد. چنانچه تهدیدها قابلیت مانور بیشتری پیدا کنند، عملکردهای بالاتری از قوانین هدایتی مورد نیاز است تا رهگیری و نهایتاً انهدام حاصل شود. برای این چالش، اغلب قوانین هدایت مدرن با استفاده از تئوری کنترل بهینه برای هزینه کردن عملکرد پرنده استفاده می‌کنند [۴]. قانون هدایتی ناوبری تناسبی و تعیین‌های آن کنترل بهینه، از یک تابع هزینه برای بهینه کردن عملکرد پرنده بهدلیل سادگی‌شان در تئوری و پیاده‌سازی به شکل وسیعی در موشک‌های تاکتیکی استفاده می‌شوند. اما قابلیت بالای مانور نسل جدید هدفها آثار معکوسی بر عملکرد این قوانین هدایتی گذاشته‌اند. برای این اهداف قوانین هدایت بهینه بر مبنای تئوری کنترل بهینه منجر به بهبود قابل توجهی در عملکرد پرنده‌های بدون سرنوشت می‌شوند. قانون هدایت بهینه، کنترل بهینه‌ای است که خطای فاصله یا شتاب جانبی کل و یا هر دو را با در نظر گرفتن قیود دینامیکی در شکلی از معادلات حالت که سینماتیک هدف و موشک را توصیف می‌کنند، کمینه می‌نماید [۵]. به طور معمول مبنای قوانین هدایت بهینه مدل خطی حاکم بر سینماتیک موشک و هدف است [۶-۸]. با توجه به اینکه دینامیک حرکت بین موشک و هدف بهخصوص برای اهداف دارای مانور غیرخطی است، این روش‌ها کاربرد محدودی دارند.

امروزه تئوری کنترل‌های غیرخطی برای کاربرد در مسائل دینامیکی پیچیده توسعه پیدا کرده است. استراتژی معادلات ریکاتی وابسته به حالت به عنوان یک روش جدید طراحی، که توانایی مؤثری در طراحی کنترل‌ها، مشاهده‌گرها و فیلترهای غیرخطی دارند، پدیدار شده‌اند. این روش شامل فاکتور گیری‌های دینامیک غیرخطی به شکل بدار حالت است که یک سیستم

غیرخطی را به شکل یک سیستم خطی با ماتریس ضرائب مستقل حالت تبدیل می‌کند و یک معیار بهینگی غیرخطی را مینیمم می‌کند. این روش در جامعه کنترل بسیار معروف شده و الگوریتم بسیار مفید و موثری را برای کنترل‌های فیدبک غیرخطی مهیا کرده است [۹-۱۳]. همچنین، روش معادلات ریکاتی وابسته به حالت کاربردهای محدودی در طراحی قوانین هدایت به خود اختصاص داده است.

استاین فیلت و سیتراس (۲۰۱۰) در پژوهشی استفاده از روش معادلات ریکاتی وابسته به حالت برای هدایت حلقة بسته فاز مافق صوت یک وسیله بازگشت به جو را ارزیابی و بررسی نموده‌اند که شامل آشنازی با روش معادلات ریکاتی وابسته به حالت و بررسی پایداری و مقاومت غیرخطی سیستم است. اما در مورد قابلیتها و مزایای این روش توضیحی نداده‌اند [۱۳]. موسی‌پور و همکاران (۲۰۱۲) در پژوهشی با ترکیب روش‌های کنترل بهینه معادلات ریکاتی وابسته به حالت و کنترل مد لغزشی یک قانون هدایت جدید برای موشک بر علیه اهداف دارای مانور طراحی نموده‌اند [۱۴]. در این تحقیق دامنه عملکرد این قانون به ازای شرایط مختلف بررسی شده است، اما این شرایط حالت جامع ندارد. از طرفی عملکرد قانون هدایتی ارائه شده تنها با قانون ناوبری تناسبی افزودنی مقایسه شده است. بهرامی و همکاران (۲۰۰۶) قانون هدایت بهینه‌ای را برای رهگیری با قید بردار موقعیت نهایی و محدودیت زمانی مانور مبتنی بر حداقل تلاش کنترلی ارائه نموده‌اند [۱۵]. سپس این قانون را با تئوری کنترل مد لغزشی تلفیق کرده و قانون هدایت بهینه مقاومی را ایجاد نموده‌اند که برای رهگیری اهداف دارای مانور متغیر با زمان تعیین داده شده است. تمرکز اصلی این مقاله بر اثبات مقاوم‌بودن قانون هدایتی در برابر اغتشاشات است.

در این مقاله کاربرد روش معادلات ریکاتی وابسته به حالت در طراحی قانون هدایت بهینه توصیف و عملکرد آن برای اهداف ثابت، با سرعت ثابت و دارای مانور بررسی و همچنین با قوانین ناوبری تناسبی و تعقیب محض مقایسه شده است. نقاط قوت این مقاله نسبت به مطالعات گذشته به شرح ذیل می‌باشد:

(۱) تعیین حوزه کاربردی قانون ارائه شده: برخلاف کارهای گذشته، دامنه قابلیتها و حوزه‌های کاربردی این روش به شکل وسیع‌تری (به ازای شرایط کاملاً متفاوت بین هدف و پرنده) و با

$$\begin{aligned}x_1 &= r \\x_2 &= \lambda \\x_3 &= \delta \\x_4 &= \theta \\u &= a_m\end{aligned}\quad (\text{Y})$$

$$\begin{aligned}\dot{x}_1 &= V_T \cos x_4 - V_M \cos x_3 \\ \dot{x}_2 &= \frac{1}{x_1} (V_T \sin x_4 - V_M \sin x_3) \\ \dot{x}_3 &= \frac{u}{V_M} - \frac{1}{x_1} (V_T \sin x_4 - V_M \sin x_3) \\ \dot{x}_4 &= -\frac{1}{x_1} (V_T \sin x_4 - V_M \sin x_3)\end{aligned}$$

که فرم فضای حالت معادلات ۲ به صورت ۳ حاصل می‌شود.

$$f(x, t) = \frac{1}{x_1} \begin{cases} x_1 V_T \cos x_4 - x_1 V_M \cos x_3 \\ V_T \sin x_4 - V_M \sin x_3 \\ -V_T \sin x_4 + V_M \sin x_3 \\ -V_T \sin x_4 + V_M \sin x_3 \end{cases} \quad (\textcircled{3})$$

$$B = \begin{cases} 0 \\ 0 \\ \frac{1}{V_M} \\ 0 \end{cases}$$

۳. قانون هدایت بهینه معادلات ریکاتی وابسته به حالت

سیستم غیرخطی ۴ در نظر گرفته می‌شود. در این سیستم $x(t)$ و $u(t)$ به ترتیب بردار حالت و بردار ورودی و $f(x)$ تابع غیرخطی از بردار حالت است. با فرض آنکه $x=0$ نقطه تعادل است ($f(0)=0$). هدف طراحی کنترل بهینه، مینیمم نمودن تابع عملکرد ۵ است.

$$\dot{x}(t) = f(x) + B(x)u(t) \quad (4)$$

$$J = \frac{1}{2} \int_0^{\infty} \{x^T Q(x)x(t) + u^T(t)R(x)u(t)\}dt \quad (\Delta)$$

در رابطه ۵ $R(x)$ و $Q(x)$ توابع غیرخطی از بردار حالت x می‌باشد. تابع $Q(x)$ به صورت مثبت نیمه‌معین و $R(x)$ نیز مثبت معین است. تحت این شرایط قانون کترلی به شکل ۶ بیان می‌شود.

$$u(x) = -K(x)x \quad (8)$$

این قانون تابع عملکرد بالا را با توجه به معادلات غیرخطی
میبینیم که مبنای روش
معادلات ریکاتی وابسته به حالت برای سیستم‌های غیرخطی
است. برای بیان روش معادلات ریکاتی وابسته به حالت، لازم
ست ابتدا با مفهوم خطی‌سازی تعمیم‌یافته، که مفهومی کلیدی در
ین روش است، آشنا شد. خطی‌سازی تعمیم‌یافته یا پارامتریزه

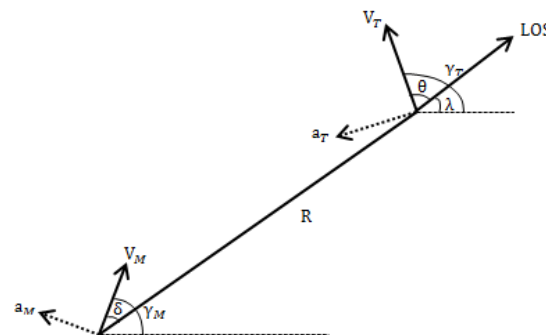
مقایسه عملکرد آن با عملکرد دو قانون هدایتی رایج، تعیین شده است.

۲) آنالیز حساسیت: بر خلاف کارهای گذشته، تأثیر تغییر پارامترهای تأثیرگذار بر عملکرد هر سه قانون، بر مجموع شتاب واردہ بر پرندۀ ارزیابی شده است.

(۳) تعیین بهره غالب: بر خلاف کارهای گذشته، به ازای شرایط مختلف سرعت و شتاب هدف، بهره غالب (پارامتر غالب) قانون هدایتی ارائه شده تعیین شده است.

در بخش دوم معادلات غیرخطی حاکم بر پرنده و هدف ارائه شده است. در بخش سوم نیز به فرمولاسیون قانون هدایت بهینه معادلات ریکاتی وابسته به حالت پرداخته می‌شود. نتایج شبیه‌سازی و تحلیل روش معادلات ریکاتی وابسته به حالت در مقابل روش‌های ناوبری تناسبی و تعقیب محض در بخش چهارم ارائه می‌شود. در نهایت، در بخش پنجم جمع‌بندی و نتیجه‌گیری بیان شده است.

۲. معادلات غیرخطی حاکم بر حرکت موشک و هدف
موشک و هدفی که دارای سرعت و مانور متغیر با زمان می‌باشند،
به صورت زیر در نظر گرفته می‌شوند. با توجه به شکل ۱، روابط
سینماتیک، حاکم به صورت روابط زیر می‌باشد.



شکل ۱. هندسه تعقیب صفحه‌ای

$$\begin{aligned}\dot{r} &= V_T \cos\theta - V_M \cos\delta \\ \dot{\lambda} &= \frac{1}{r} (V_T \sin(\theta) - V_M \sin(\delta)) \\ \dot{\delta} &= \frac{a_M}{V_M} - \frac{1}{r} (V_T \sin(\theta) - V_M \sin(\delta)) \\ \dot{\theta} &= \frac{a_T}{V_T} - \frac{1}{r} (V_T \sin(\theta) - V_M \sin(\delta))\end{aligned}\quad (1)$$

با در نظر گرفتن تغییر متغیرهای زیر روابط ۱ به فرم ۲ بازنویسی می‌شوند.

چندجمله‌ای است؛ لذا از روابط ۱۲ که به بسط تیلور معروف می‌باشد، استفاده می‌شود.

$$\begin{aligned} \sin(x) &\approx x - \frac{x^3}{6} + \dots \\ \cos(x) &\approx 1 - \frac{x^2}{2} + \dots \end{aligned} \quad (12)$$

با اعمال روابط ۱۲ بر روابط ۲ معادلات زیر حاصل می‌شود.

$$\begin{aligned} \dot{x}_1 &= (V_T - V_M) - \frac{V_T x_4^2}{2} + \frac{V_M x_3^2}{2} \\ \dot{x}_2 &= \frac{V_T x_4}{x_1} - \frac{V_T x_4^3}{6x_1} - \frac{V_M x_3}{x_1} + \frac{V_M x_3^3}{6x_1} \\ \dot{x}_3 &= -\frac{V_T x_4}{x_1} + \frac{V_T x_4^3}{6x_1} + \frac{V_M x_3}{x_1} - \frac{V_M x_3^3}{6x_1} \\ \dot{x}_4 &= -\frac{V_T x_4}{x_1} + \frac{V_T x_4^3}{6x_1} + \frac{V_M x_3}{x_1} - \frac{V_M x_3^3}{6x_1} \end{aligned} \quad (13)$$

روابط ۱۳ همان معادلات $f(x, t)$ می‌باشد که با استفاده از بسط تیلور به صورت چندجمله‌ای تغییر شکل پیدا کرده‌اند. گام بعدی برای استفاده از روش معادلات ریکاتی وابسته به حالت، تبدیل این معادلات به فرم خطی $x A(x)$ می‌باشد. همان‌گونه که بیان شد، جواب‌های گوناگونی برای این مورد به دست می‌آید؛ اما معیار مطلوب برای انتخاب جواب مورد نظر، کنترل‌پذیری ماتریس $A(x)$ می‌باشد. در نهایت برای روابط بیان شده و با توجه به معیار کنترل‌پذیری، ماتریس $A(x)$ برای معادلات ذکر شده به صورت زیر حاصل می‌شود.

$$\begin{aligned} a_{11} &= \frac{V_T - V_M}{x_1} \\ a_{13} &= -\frac{V_T x_4^2}{2x_3} + \frac{V_M x_3}{2} \\ a_{23} &= -\frac{V_M}{x_1} + \frac{V_M x_3^2}{6x_1} \\ a_{24} &= \frac{V_T}{x_1} - \frac{V_T x_4^2}{6x_1} \\ a_{32} &= -\frac{V_T x_4}{x_1 x_2} + \frac{V_T x_4^3}{6x_1 x_2} \\ a_{33} &= \frac{V_M}{x_1} - \frac{V_M x_3^2}{6x_1} \\ a_{42} &= \frac{V_M x_3}{x_1 x_2} - \frac{V_M x_3^3}{6x_1 x_2} \\ a_{44} &= -\frac{V_T}{x_1} + \frac{V_T x_4^2}{6x_1} \\ A(x) &= \begin{bmatrix} a_{11} & 0 & a_{13} & 0 \\ 0 & 0 & a_{23} & a_{24} \\ 0 & a_{32} & a_{33} & 0 \\ 0 & a_{42} & 0 & a_{44} \end{bmatrix} \end{aligned} \quad (14)$$

کردن فرایندی است که طی آن سیستم غیرخطی به یک ساختار شبه خطی تبدیل می‌شود. با فرض $f(0) = 0$ و همچنین اگر تابع f مشتق‌پذیر باشد، در این صورت همواره یک تابع ماتریسی غیرخطی پیوسته $A(x)$ وجود خواهد داشت؛ به طوری که:

$$f(x) = A(x)x \quad (7)$$

که در آن $A(x)$ با فاکتورگیری ریاضی به دست می‌آید و برای $n > 1$ منحصر به فرد نیست. چون فاکتورگیری $A(x)$ منحصر به فرد نمی‌باشد، انتخاب آن باید به گونه‌ای باشد که اهداف کنترلی را برآورد. یک فاکتور برای انتخاب $A(x)$ که اهمیت قابل توجهی دارد، کنترل‌پذیری ماتریس است. یک سیستم خطی کنترل‌پذیر است اگر ماتریس زیر دارای مرتبه n کامل باشد [۱۴].

$$M(x) = [B(x) \quad A(x)B(x) \quad \dots \quad A^{(n-1)}B(x)] \quad (8)$$

بنابراین مدل شبه خطی سیستم غیرخطی ۴ به فرم زیر تبدیل می‌شود:

$$\dot{x}(t) = A(x)x(t) + B(x)u(t) \quad (9)$$

با الهام گرفتن از روش کنترل بهینه مربع خطی، که با یک معادله جبری ریکاتی توصیف می‌شود، کنترل فیدبک معادلات ریکاتی وابسته به حالت، نیز یک رهیافت مشابه برای مسئله غیرخطی بهینه فراهم می‌نماید. کنترل کننده فیدبک حالت معادلات ریکاتی وابسته به حالت، به فرم ۱۰ به دست می‌آید.

$$u(x) = -R^{-1}(x)B^T(x)P(x)x(t) \quad (10)$$

که در آن $P(x)$ یک ماتریس مثبت معین مقارن منحصر به فرد در هر نقطه از x می‌باشد که از حل دستگاه معادلات جبری ریکاتی وابسته به حالت به دست می‌آید.

$$A^T(x)P(x) + P(x)A(x) - P(x)B(x)R^{-1}(x)B^T(x)P(x) + Q(x) = 0 \quad (11)$$

همان‌گونه که بیان شد، روش حل معادلات ریکاتی وابسته به حالت برای مسئله غیرخطی، تعیینی است از روش مربع خطی نامنیز باشد. در هر لحظه، ماتریس‌های غیرخطی $A(x)$ به صورت ثابت فرض می‌شوند و ورودی کنترلی با حل مسئله کنترل بهینه مربع خطی محاسبه می‌گردد. معادله ماتریسی جبری ریکاتی را می‌توان به روش‌های عددی و تکراری نظریه تجزیه شوری یا ماتریس همیلتونین حل نمود. البته می‌توان از بسته‌های نرم‌افزاری که از این روش‌ها استفاده می‌نمایند نیز بهره گرفت. برای خطی‌سازی تعیین یافته نیاز به دارا بودن معادلات به صورت

می شود که ترکیب اجزای سازنده این عبارت با هم این عبارت را صفر نمایند. این حالت زمانی ایجاد می شود که عبارت زیر برقرار گردد. با توجه به موارد بالا، دترمینان ماتریس M در مواردی که $\delta = 0$ و رابطه بالا اراضا شود، برابر صفر می شود و در این حالت ماتریس A کنترل پذیر نمی باشد.

$$\theta = \sqrt{6 - \frac{36(V_T - V_M)^2}{\frac{V_T V_M}{\lambda} (6\delta - \delta^3) - 6V_T(V_T - V_M)}} \quad (19)$$

۴. شبیه سازی

به منظور بررسی سه روش هدایت ناوی بری تناسبی، تعقیب محض و قانون هدایتی مطرح شده، برای دو حالت هدف ثابت و متغیر، در بردها و راستاهای حرکتی گوناگون شبیه سازی صورت گرفته است. در حالت هدف متغیر نیز سرعت هدف ثابت و متغیر است. مقدار سرعت ثابت هدف ۲۰ متر بر ثانیه و در حالت سرعت متغیر، شتاب هدف ۵ متر بر مجدوثر ثانیه لحاظ شده است. گفتنی است در کلیه شبیه سازی های صورت گرفته زاویه خط دید اولیه (۸۰) صفر و سرعت موشک ۲۷۰ متر بر ثانیه در نظر گرفته شده است. از طرفی با توجه به محدودیت های سازه ای موشک برای تحمل شتاب واردہ بر آن، برای کلیه شبیه سازی های انجام شده شتاب واردہ بر موشک بین مقادیر $+20$ و -20 محدود شده است. شبیه سازی های انجام گرفته بر مبنای دو برد 5000 و 10000 متر، $\theta_0 = -90, 0, 90, 180$ درجه و $\delta_0 = -30, -15, 0, 15, 30$ درجه انجام شده، اما نمودار نتایج شبیه سازی تنها برای برد 10000 متر آورده شده است. نتایج مربوط به شبیه سازی های مختلف در جدول های ادامه آمده است. جدول ۱ و ۲ بیانگر نتایج برای هدف ثابت است. این جدول زمان نهایی مورد نیاز برای اصابت به هدف و مجموع شتاب واردہ به موشک در حین پرواز را برای سه قانون هدایت مورد بررسی و به ازای شرایط مختلف، نمایش داده است. جدول های ۳ تا ۷ نیز نتایج مربوط به حالت است که موشک با سرعت ثابت در حرکت است. در این حالت علاوه بر پارامتر δ ، چون موشک در حال حرکت است تعییر پارامتر θ_0 و تأثیر آن بر زمان نهایی اصابت و مجموع شتاب واردہ بر موشک، برای سه قانون مورد نظر بررسی شده است. در این تحقیق منظور از نمادهای OG، PN و PP به ترتیب قانون هدایت بهینه، قانون هدایت ناوی بری تناسبی و قانون هدایت تعقیب محض است.

همان گونه که بیان شد، انتخاب ماتریس (x) منحصر به فرد نیست و باید این ماتریس به گونه ای انتخاب شود که زوج $\{A(x), B(x)\}$ کنترل پذیر باشند. با استفاده از رابطه ۱۵ که شرط کنترل پذیر بودن یک ماتریس است، کنترل پذیری ماتریس (x) به دست آمده و حالت هایی که می تواند منجر به کنترل پذیر نبودن آن شود، بررسی می شود. ماتریس (x) کنترل پذیر است اگر دترمینان ماتریس (x) مخالف صفر باشد.

$$M(x) \quad (15)$$

$= [B(x) \ A(x)B(x) \ A^{(n-1)}B(x)]$
چون سیستم مورد بررسی در این تحقیق مرتبه چهار است، ضریب n در رابطه بالا ۴ می باشد و رابطه ۱۵ به شکل ۱۶ تبدیل می گردد.

$$M(x) \quad (16)$$

$= [B(x) \ A(x)B(x) \ A^2B(x) \ A^3B(x)]$
که دترمینان آن عبارت است از:

$$det(M) = (a_{13} \cdot a_{11}^2 \cdot a_{23}^2 \cdot a_{42} \\ - a_{13} \cdot a_{44} \cdot a_{11} \cdot a_{23}^2 \cdot a_{42} \\ - a_{13} \cdot a_{24} \cdot a_{23}^2 \cdot a_{42}^2) / V_M^4 \quad (17)$$

اکنون شرایطی که امکان دارد دترمینان بالا صفر شود و نهایتاً ماتریس M کنترل ناپذیر گردد، بررسی می شود. دترمینان بالا در صورتی صفر می شود که صورت کسر صفر گردد، بنابراین:

$$a_{13} \cdot a_{23}^2 \cdot a_{42} (a_{11}^2 - a_{44} \cdot a_{11} - a_{24} \cdot a_{42}) = 0 \quad (18)$$

رابطه ۱۸ تحت دو حالت صفر می شود:

$$a_{13} \cdot a_{23}^2 \cdot a_{42} = 0$$

$$A = a_{11}^2 - a_{44} \cdot a_{11} - a_{24} \cdot a_{42} = 0$$

حالت اول: این حالت زمانی صفر می شود که یک یا همه پارامترهای آن صفر گردد که بررسی این حالت در زیر آمده است.

$$a_{13} = 0 \rightarrow \frac{V_M \delta}{2} = 0 \rightarrow \delta = 0$$

$$a_{23} = 0 \rightarrow \frac{-V_M}{r} = 0 \rightarrow r = 0 \rightarrow \text{هیچگاه صفر نمی شود} \rightarrow \delta = 0$$

$$a_{42} = 0 \rightarrow \frac{V_M \delta}{r \lambda} = 0 \rightarrow \delta = 0$$

بنابراین این حالت تنها در شرایط $r = 0$ ، $\delta = 0$ صفر می شوند.

حالت دوم: این حالت نیز خود به دو قسمت تقسیم می شود.

حالت اول، زمانی عبارت A صفر می شود که همزمان پارامترهای a_{11}^2 ، a_{11} و a_{44} و a_{42} و a_{24} صفر گردد. پارامتر a_{42} در

حالت قبل بررسی گردید. a_{11}^2 و a_{44} و a_{42} و a_{24} نیز طبق رابطه ۱۴

هیچگاه صفر نمی شوند، بنابراین این حالت نیز تنها زمانی صفر می شود که $\delta = 0$ باشد و در حالت دوم زمانی عبارت A صفر

جدول ۱. مجموع شتاب و زمان نهایی برای هدف ثابت با برد ۱۰۰۰۰ متر

t_f (OG)	$\int a_M$ (OG)	t_f (PN)	$\int a_M$ (PN)	t_f (PP)	$\int a_M$ (PP)	δ_0 (deg)
۳۵/۶	۱۶۱/۶	۳۵/۶	۱۶۵/۱	۳۵/۵	۱۶۳/۳	-۳۰
۳۵/۲	۷۶/۱	۳۵/۲	۸۲/۵۴	۳۵/۲	۷۸/۱	-۱۵
۳۵/۲	.	۳۵/۱	.	۳۵/۱	.	.
۳۵/۲	۷۶/۱	۳۵/۲	۸۲/۵۴	۳۵/۲	۷۸/۱	۱۵
۳۵/۶	۱۶۱/۶	۳۵/۶	۱۶۵/۱	۳۵/۵	۱۶۳/۳	۳۰

جدول ۲. مجموع شتاب و زمان نهایی برای هدف ثابت با برد ۵۰۰۰ متر

t_f (OG)	$\int a_M$ (OG)	t_f (PN)	$\int a_M$ (PN)	t_f (PP)	$\int a_M$ (PP)	δ_0 (deg)
۱۷/۳	۲۰۳	۱۷/۱	۱۶۶	۱۷/۱	۱۹۲	-۳۰
۱۶/۷	۸۵/۱	۱۶/۷	۸۳/۱	۱۶/۷	۸۲/۷	-۱۵
۱۶/۷	.	۱۶/۶	.	۱۶/۶	.	.
۱۶/۷	۸۵/۱	۱۶/۷	۸۳/۱	۱۶/۷	۸۲/۷	۱۵
۱۷/۳	۲۰۳	۱۷/۱	۱۶۶	۱۷/۱	۱۹۲	۳۰

جدول ۳. مجموع شتاب و زمان نهایی برد ۱۰۰۰۰ متر به ازای زاویه -۳۰ درجه بردار سرعت و خط دید

t_f (OG)	$\int a_M$ (OG)	t_f (PN)	$\int a_M$ (PN)	t_f (PP)	$\int a_M$ (PP)	θ_0 (deg)
۳۵/۶	۹۹/۲	۳۵/۶	۱۴۱	۳۵/۵	۲۱۲	-۹۰
۳۸/۵	۱۵۶	۳۸/۴	۱۶۳	۳۸/۴	۱۶۶	.
۳۵/۹	۲۱۹	۳۵/۸	۱۸۸	۳۵/۹	۲۱۷	۹۰
۳۳/۱	۱۶۳	۳۳/۱	۱۶۷	۳۳/۱	۱۶۵	۱۸۰

جدول ۴. مجموع شتاب و زمان نهایی برد ۵۰۰۰ متر به ازای زاویه -۳۰ درجه بردار سرعت و خط دید

t_f (OG)	$\int a_M$ (OG)	t_f (PN)	$\int a_M$ (PN)	t_f (PP)	$\int a_M$ (PP)	θ_0 (deg)
۱۷	۱۴۵	۱۷	۱۴۲	۱۷	۲۰۶	-۹۰
۱۸/۶	۱۱۹	۱۸/۴	۱۶۴	۱۸/۵	۱۹۴	.
۱۷/۵	۲۴۲	۱۷/۱	۱۸۹	۱۷/۴	۲۲۸	۹۰
۱۶	۲۰۲	۱۵/۸	۱۶۸	۱۵/۹	۱۹۶	۱۸۰

جدول ۵. مجموع شتاب و زمان نهایی برد ۱۰۰۰۰ متر به ازای زاویه -۱۵ درجه بردار سرعت و خط دید

t_f (OG)	$\int a_M$ (OG)	t_f (PN)	$\int a_M$ (PN)	t_f (PP)	$\int a_M$ (PP)	θ_0 (deg)
۳۵/۴	۱۶/۱	۳۵/۳	۵۹/۲	۳۵/۳	۱۳۲	-۹۰
۳۸/۱	۷۵/۱	۳۸/۱	۸۱/۵	۳۸/۱	۷۸/۸	.
۳۵/۵	۱۳۵	۳۵/۴	۱۰۶	۳۵/۴	۱۳۳	۹۰
۳۲/۸	۷۶/۹	۳۲/۸	۸۳/۵	۳۲/۸	۷۸/۴	۱۸۰

جدول ۶. مجموع شتاب و زمان نهایی برد ۵۰۰۰ متر به ازای زاویه ۱۵- درجه بردار سرعت و خط دید

t_f (OG)	$\int a_M$ (OG)	t_f (PN)	$\int a_M$ (PN)	t_f (PP)	$\int a_M$ (PP)	θ_0 (deg)
16/8	28/2	16/7	59/5	16/7	117	-90
18/1	81/8	18/1	82/1	18/1	83/8	0
16/9	128	16/8	107	16/8	125	90
15/5	85	15/5	84/1	15/5	82/5	180

جدول ۷. مجموع شتاب و زمان نهایی برد ۱۰۰۰۰ متر به ازای زاویه صفر درجه بردار سرعت و خط دید

t_f (OG)	$\int a_M$ (OG)	t_f (PN)	$\int a_M$ (PN)	t_f (PP)	$\int a_M$ (PP)	θ_0 (deg)
35/4	59/7	35/3	22/4	35/4	58/8	-90
38	.	38	.	38	.	.
35/4	59/7	35/3	22/4	35/4	58/8	90
32/8	.	32/8	.	32/8	.	180

جدول ۸ مجموع شتاب و زمان نهایی برد ۵۰۰۰ متر به ازای زاویه صفر درجه بردار سرعت و خط دید

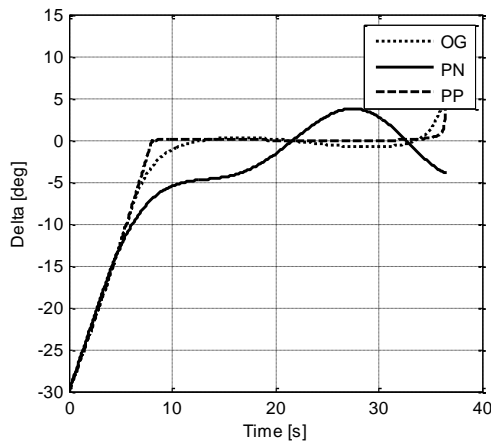
t_f (OG)	$\int a_M$ (OG)	t_f (PN)	$\int a_M$ (PN)	t_f (PP)	$\int a_M$ (PP)	θ_0 (deg)
16/8	44/7	16/7	23/5	16/7	44/9	-90
18	.	18	.	18	.	.
16/8	44/7	16/7	23/5	16/7	44/9	90
15/5	.	15/5	.	15/5	.	180

مورد نیاز برای اصابت تفاوت زیادی بین قوانین وجود ندارد. اما با نزدیکتر شدن موشك به هدف (برد ۵۰۰۰ متری) قوانین ناوبری تنسی و تعقیب محض از حیث مجموع شتاب در این حالت بهتر از قانون هدایت بهینه ارائه شده می‌باشند. از حیث زمان نهایی نیز همانند قبل، تفاوت قابل توجهی بین سه قانون ارائه شده وجود ندارد (جدول ۲). نتایج بیان شده برای اهداف ثابت میین آن است که قانون هدایت بهینه برای این اهداف دارای مزیت خاصی نیست؛ زیرا برتری مطلقی نسبت به دو قانون هدایت کلاسیک ندارد؛ اگرچه همان‌گونه که بیان شد به ازای بردهای طولانی عملکرد نسبتاً بهتری را دارد. برای اهداف متغیر با سرعت ثابت، با بررسی نتایج شبیه‌سازی موجود در جدول‌های ۳ تا ۸ می‌توان بیان کرد که به ازای شرایط اولیه مختلف در برد ۱۰۰۰۰ متری از حیث مجموع شتاب وارد بر موشك قانون هدایت بهینه ارائه شده، در مجموع عملکرد مناسبتری نسبت به دو قانون ناوبری تنسی و تعقیب محض دارد و به موشك شتاب کمتری

مجموع شتاب و زمان نهایی به ازای $\delta_0 = 15,30$ درجه و θ_0 مثبت و منفی به ترتیب همانند مقادیر $-30, -15$ و $\delta_0 = \theta_0$ منفی و مثبت است که از آوردن جدول‌های مربوطه برای احتساب از طولانی شدن، مقاله خودداری می‌شود.

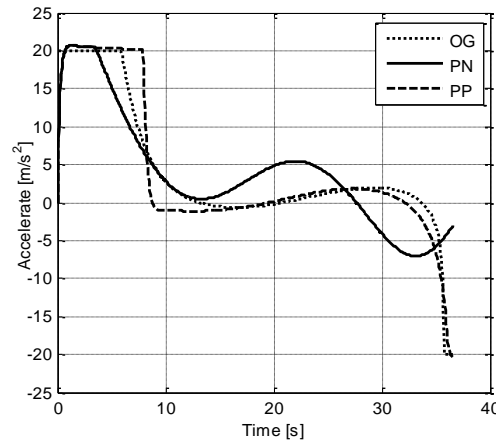
شکل‌های زیر تاریخچه زمانی مجموع شتاب، زاویه ۵، زاویه خط دید و مسیر پرواز موشک را برای حالت سرعت متغیر و به ازای سه قانون هدایتی نمایش می‌دهد. جدول‌های ۹ تا ۱۸ نیز همانند جدول‌های حالت قبلی است؛ با این تفاوت که برای هدف با سرعت متغیر می‌باشد. از جدول‌های ارائه شده می‌توان نتیجه گرفت که برای اهداف ثابت و در برد ۱۰۰۰۰ متری و با توجه به نتایج موجود در جدول ۱ از منظر مجموع شتاب واردہ بر موشک، اگرچه تفاوت چندانی بین قوانین ارائه شده وجود ندارد، اما قانون هدایت بهینه عملکرد بهتری را نسبت به دو قانون کلاسیک دیگر دارد. بعد از این قانون، قانون هدایت تعقیب مخصوص و در نهایت قانون هدایت ناوبری تناسی قرار می‌گیرد. در مورد زمان نهایی

قانون ناوبری تناوبی و بعد قانون هدایت بهینه و تعقیب مخصوص قرار می‌گیرند. از منظر زمان نهایی مورد نیاز برای اصابت موشک به هدف نیز تفاوت قابل توجهی بین این سه روش وجود دارد.

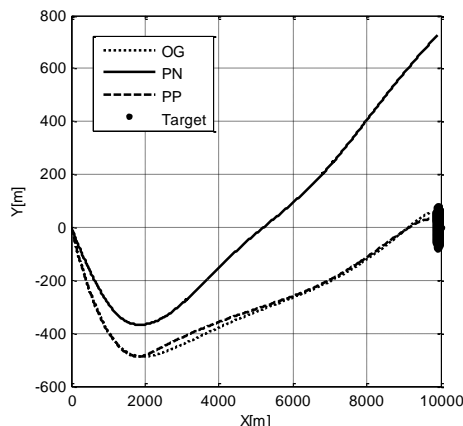


شکل ۳. زاویه بین بردار سرعت موشک و خط دید

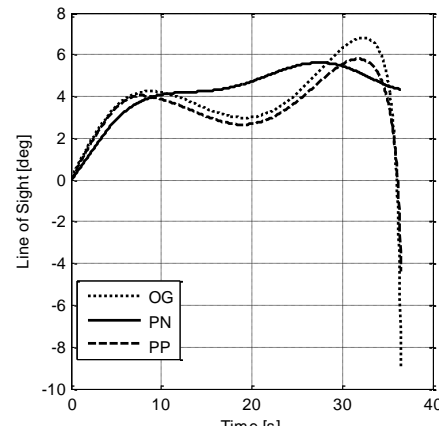
وارد می‌شود؛ اما با نزدیک شدن موشک به هدف همانند حالت هدف ثابت، قانون هدایت بهینه عملکرد مناسبی نخواهد داشت. به عبارت دیگر در برد ۵۰۰۰ متری از حیث مجموع شتاب، نخست



شکل ۲. شتاب واردہ بر موشک



شکل ۵. مسیر پرواز موشک و هدف



شکل ۴. زاویه خط دید

جدول ۹. مجموع شتاب و زمان نهایی برد ۱۰۰۰۰ متر به ازای زاویه -30° - درجه بردار سرعت و خط دید

t_f (OG)	$\int a_M$ (OG)	t_f (PN)	$\int a_M$ (PN)	t_f (PP)	$\int a_M$ (PP)	θ_0 (deg)
$36/2$	۱۵۵	$36/3$	۲۵۱	$36/2$	۱۸۹	-۹۰
$35/8$	۱۸۲	$35/8$	۲۳۱	$35/8$	۲۰۳	۰
$35/1$	۱۷۰	$35/2$	۲۲۳	$35/1$	۱۹۴	۹۰
$35/4$	۱۳۸	$35/6$	۲۳۱	$35/4$	۱۹۷	۱۸۰

جدول ۱۰. مجموع شتاب و زمان نهایی برد ۵۰۰۰ متر به ازای زاویه -30° - درجه بردار سرعت و خط دید

t_f (OG)	$\int a_M$ (OG)	t_f (PN)	$\int a_M$ (PN)	t_f (PP)	$\int a_M$ (PP)	θ_0 (deg)
$17/6$	۲۱۰	$17/5$	۱۹۹	$17/6$	۲۰۶	-۹۰
۱۷	۲۱۰	$16/9$	۲۱۱	۱۷	۲۱۶	۰
$16/7$	۱۷۸	$16/6$	۱۶۸	$16/7$	۲۲۶	۹۰
$17/4$	۱۸۲	$17/4$	۱۸۵	$17/4$	۱۹۵	۱۸۰

جدول ۱۱. مجموع شتاب و زمان نهایی برد ۱۰۰۰۰ متر به ازای زاویه ۱۵- درجه بردار سرعت و خط دید

t_f (OG)	$\int a_M$ (OG)	t_f (PN)	$\int a_M$ (PN)	t_f (PP)	$\int a_M$ (PP)	θ_0 (deg)
۳۵/۸	۷۰/۹	۳۵/۹	۱۷۲	۳۵/۸	۱۰۸	-۹۰
۳۵/۵	۹۷/۴	۳۵/۵	۱۶۳	۳۵/۵	۱۱۸	۰
۳۴/۸	۸۶/۲	۳۴/۸	۱۵۳	۳۴/۸	۱۰۹	۹۰
۳۵/۱	۵۴/۵	۳۵/۲	۱۴۸	۳۵/۵	۱۱۸	۱۸۰

جدول ۱۲. مجموع شتاب و زمان نهایی برد ۵۰۰۰ متر به ازای زاویه ۱۵- درجه بردار سرعت و خط دید

t_f (OG)	$\int a_M$ (OG)	t_f (PN)	$\int a_M$ (PN)	t_f (PP)	$\int a_M$ (PP)	θ_0 (deg)
۱۷/۲	۱۰۴	۱۷/۲	۱۱۵	۱۷/۲	۱۰۵	-۹۰
۱۶/۶	۹۶/۲	۱۶/۵	۱۳۹	۱۶/۵	۱۰۳	۰
۱۶/۳	۶۳/۹	۱۶/۳	۱۱۴	۱۶/۳	۱۱۶	۹۰
۱۷	۷۳/۵	۱۷/۱	۱۰۲	۱۷	۱۰۴	۱۸۰

جدول ۱۳. مجموع شتاب و زمان نهایی برد ۱۰۰۰۰ متر به ازای زاویه صفر درجه بردار سرعت و خط دید

t_f (OG)	$\int a_M$ (OG)	t_f (PN)	$\int a_M$ (PN)	t_f (PP)	$\int a_M$ (PP)	θ_0 (deg)
۳۵/۸	۴/۷	۳۵/۸	۱۱۴	۳۵/۸	۳۵/۹	-۹۰
۳۵/۴	۲۱/۷	۳۵/۴	۱۰۲	۳۵/۴	۴۳/۲	۰
۳۴/۷	۱۰/۳	۳۴/۸	۱۱۱	۳۴/۷	۳۱/۴	۹۰
۳۵/۱	۲۱/۳	۳۵/۱	۹۹/۲	۳۵/۱	۴۲/۹	۱۸۰

جدول ۱۴. مجموع شتاب و زمان نهایی برد ۵۰۰۰ متر به ازای زاویه صفر درجه بردار سرعت و خط دید

t_f (OG)	$\int a_M$ (OG)	t_f (PN)	$\int a_M$ (PN)	t_f (PP)	$\int a_M$ (PP)	θ_0 (deg)
۱۷/۲	۲۱/۳	۱۷/۲	۶۱/۳	۱۷/۲	۳۲/۲	-۹۰
۱۶/۵	۱۲/۶	۱۶/۵	۵۹/۹	۱۶/۵	۲۳/۵	۰
۱۶/۳	۲۰/۲	۱۶/۳	۵۸/۴	۱۶/۳	۳۳/۵	۹۰
۱۶/۹	۸/۸۹	۱۷	۶۱/۹	۱۶/۹	۲۷/۲	۱۸۰

جدول ۱۵. مجموع شتاب و زمان نهایی برد ۱۰۰۰۰ متر به ازای زاویه ۱۵ درجه بردار سرعت و خط دید

t_f (OG)	$\int a_M$ (OG)	t_f (PN)	$\int a_M$ (PN)	t_f (PP)	$\int a_M$ (PP)	θ_0 (deg)
۳۵/۸	۷۹/۹	۳۵/۹	۱۵۶	۳۵/۸	۱۱۴	-۹۰
۳۵/۵	۵۳/۸	۳۵/۵	۱۵۱	۳۵/۴	۱۱۸	۰
۳۴/۸	۶۶/۱	۳۴/۹	۱۷۰	۳۴/۸	۱۰۴	۹۰
۳۵/۱	۹۷/۳	۳۵/۲	۱۶۲	۳۵/۱	۱۱۸	۱۸۰

جدول ۱۶. مجموع شتاب و زمان نهایی برد ۵۰۰۰ متر به ازای زاویه ۱۵ درجه بردار سرعت و خط دید

t_f (OG)	$\int a_M$ (OG)	t_f (PN)	$\int a_M$ (PN)	t_f (PP)	$\int a_M$ (PP)	θ_0 (deg)
۱۷/۲	۶۱/۷	۱۷/۲	۱۱۶	۱۷/۲	۱۱۵	-۹۰
۱۶/۵	۷۱/۸	۱۶/۵	۱۰۱	۱۶/۵	۱۰۱	۰
۱۶/۳	۱۰۴	۱۶/۴	۱۱۴	۱۶/۳	۱۰۵	۹۰
۱۷/۱	۹۰/۵	۱۷/۱	۱۴۲	۱۷/۱	۱۰۸	۱۸۰

جدول ۱۷. مجموع شتاب و زمان نهایی برد ۱۰۰۰۰ متر به ازای زاویه ۳۰ درجه بردار سرعت و خط دید

t_f (OG)	$\int a_M$ (OG)	t_f (PN)	$\int a_M$ (PN)	t_f (PP)	$\int a_M$ (PP)	θ_0 (deg)
۳۶/۲	۱۶۱	۳۶/۳	۲۲۸	۳۶/۲	۲۰۰	-۹۰
۳۵/۸	۱۳۷	۳۵/۹	۲۳۴	۳۵/۷	۱۹۶	۰
۳۵/۱	۱۵۲	۳۵/۲	۲۴۸	۳۵/۱	۱۸۶	۹۰
۳۵/۵	۱۸۲	۳۵/۵	۷۲۳۰	۳۵/۵	۵۲۰۳	۱۸۰

جدول ۱۸. مجموع شتاب و زمان نهایی برد ۵۰۰۰ متر به ازای زاویه ۳۰ درجه بردار سرعت و خط دید

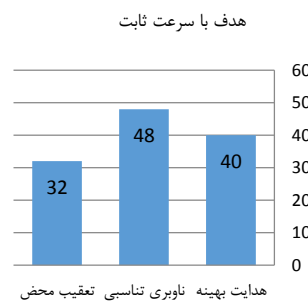
t_f (OG)	$\int a_M$ (OG)	t_f (PN)	$\int a_M$ (PN)	t_f (PP)	$\int a_M$ (PP)	θ_0 (deg)
۱۷/۵	۱۷۳	۱۷/۵	۱۶۸	۱۷/۵	۲۱۷	-۹۰
۱۶/۹	۱۸۸	۱۶/۸	۱۵۹	۱۶/۹	۱۹۳	۰
۱۶/۸	۲۱۴	۱۶/۷	۱۹۹	۱۶/۸	۲۰۸	۹۰
۱۷/۵	۱۹۸	۱۷/۴	۲۱۰	۱۷/۵	۲۲۸	۱۸۰

به ازای شرایط مختلف شبیه‌سازی شده از حیث مجموع شتاب واردہ بر موشک مقایسه شده‌اند. بدین‌منظور هر کدام از نتایج شبیه‌سازی شده موجود در جدول‌ها از حیث مجموع شتاب بررسی شده‌اند و برای سه حالت هدف ثابت، هدف با سرعت ثابت و هدف با سرعت متغیر به هر کدام از سه روش نمره‌ای اختصاص داده شده است که این نمره ملاک مقایسه روش‌ها در حالت کلی است. منطق نمره‌دهی به این شکل است که پس از بررسی هر یک از حالت‌های موجود در جدول‌ها به قانونی که شتاب کمتری به موشک اعمال می‌کند نمره ۳، به قانون بعدی نمره ۲ و به قانون آخر نمره ۱ داده می‌شود و نهایتاً این نمرات برای سه حالت هدف ثابت، هدف با سرعت ثابت و هدف با سرعت متغیر، جمع بسته می‌شود که این عدد نهایی ملاک سنجش قوانین برای سه حالت در نظر گرفته شده می‌باشد. گفتنی است محور عمودی اشکال، مجموع نمره‌ای است که از حیث شتاب واردہ بر موشک به هر

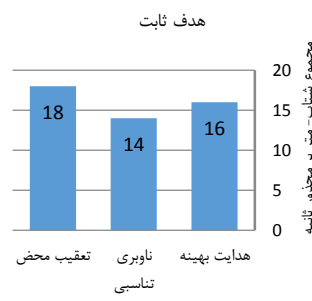
در مورد اهدافی که با شتاب در حرکت‌اند، در وهله اول می‌توان از شکل ۵ مشاهده نمود که قانون ناویبری تناسبی در مورد این اهداف (با مانور نسبتاً بالا) قادر به رهگیری هدف نمی‌باشد. لذا مقایسه عملکردی قانون هدایت بهینه، تنها با قانون تعقیب محض انجام گرفته است. شکل‌های ۲ تا ۴ نشان‌دهنده آن است که از لحاظ رفتاری، قانون هدایت بهینه و تعقیب محض کاملاً مشابه هم رفتار می‌نمایند، اما با دقت بر جدول‌های ۹ تا ۱۸ تفاوت‌های این دو روش آشکار می‌گردد. جدول‌های نتایج نشان‌دهنده آن است که قانون هدایت بهینه ارائه شده در مجموع از حیث مجموع شتاب واردہ از قانون تعقیب محض عملکرد مناسب‌تری را دارد؛ اگرچه همانند حالت‌های قبل از حیث زمان نهایی مورد نیاز برای اصابت تفاوت چندانی بین آنها وجود ندارد. برای بررسی مناسب‌تر سه قانون هدایتی از روی نتایج شبیه‌سازی، این سه قانون برای کل مسیر پروازی (از لحظه پرتاب تا لحظه اصابت) و

اهداف متغیر با سرعت ثابت، قانون هدایتی ناوبری تناوبی در حالت کلی مناسبتر است و در رده‌های بعدی قانون هدایت بهینه و قانون هدایت تعقیب محض قرار می‌گیرد. برای اهداف با سرعت متغیر شکل ۸ مؤید عملکرد قابل ملاحظه و شایسته قانون هدایت بهینه نسبت به قانون هدایتی تعقیب محض و ناوبری تناوبی است.

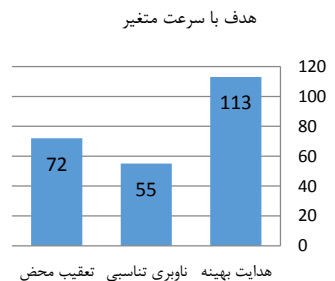
قانون داده شده است. همان‌گونه که از شکل‌های ۶ تا ۸ مشخص است، برای اهداف ثابت اگرچه تفاوت قابل توجهی بین قوانین وجود ندارد اما قانون هدایتی تعقیب محض عملکرد مناسب‌تری را در حالت کلی و به ازای همه شرایط و مسافت‌های مختلف شبیه‌سازی شده دارد. در رده بعدی، قانون هدایت بهینه ارائه شده و نهایتاً قانون هدایتی ناوبری تناوبی قرار می‌گیرد. برای



شکل ۷. بررسی سه قانون هدایتی از حیث مجموع شتاب وارد برای اهداف متغیر با سرعت ثابت



شکل ۶. بررسی سه قانون هدایتی از حیث مجموع شتاب وارد برای اهداف ثابت



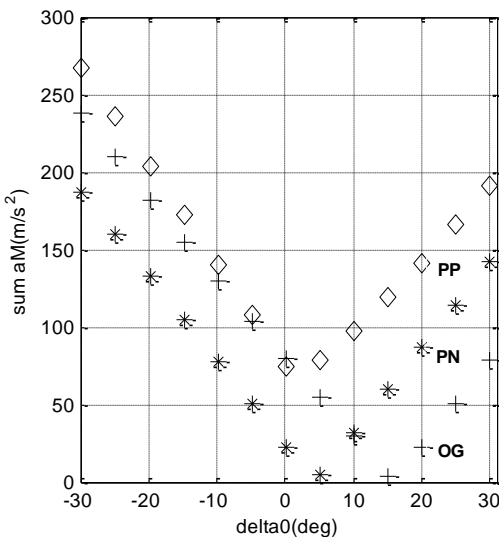
شکل ۸. بررسی سه قانون هدایتی از حیث مجموع شتاب وارد برای اهداف متغیر با سرعت متغیر

با بررسی رفتار مجموع شتاب وارد بر موشک (شکل ۹)، می‌توان به این نتیجه رسید که قانون ناوبری تناوبی برای اهداف با شتاب بالا عملکرد نامناسبی را دارد. این در حالی است که قانون هدایت بهینه ارائه شده از این حیث عملکرد مناسب‌تری دارد. با دقت به رفتار قانون‌های در نظر گرفته شده می‌توان به این نتیجه رسید که قانون تعقیب محض حساسیت کمتری نسبت به شتاب هدف دارد؛ زیرا با افزایش شتاب هدف، اگرچه در شتاب‌های کم تغییرات اندک شتاب وجود دارد اما با افزایش شتاب تغییرات قابل توجهی در مجموع شتاب وارد بر موشک وجود ندارد. بعد از قانون تعقیب محض، قانون هدایت بهینه نسبت به تعییر شتاب حساسیت کمتری را دارد. با تغییر زاویه δ_0 و

r_0 بهمنظور تعیین رفتار قوانین هدایتی بیان شده و تعیین میزان وابستگی آنها به پارامترهای مختلف، رفتار هر سه قانون به ازای تغییر پارامترهای a_T, r_0, θ_0, V_T و تأثیر این تغییرات بر مقدار مجموع شتاب وارد، بررسی شده است. علت آنکه تنها مجموع شتاب وارد بر موشک در این بررسی لحاظ شده است آن است که در بخش قبل دیده شد که تفاوت بین سه قانون تنها در مقدار شتاب وارد قابل توجه می‌باشد و از حیث زمان نهایی اصابت، تفاوت چندانی وجود ندارد. نمودارهای نتایج تنها برای شرایط اولیه زیر آورده شده است، اما نتیجه‌گیری انجام‌شده به ازای بررسی حالت‌های مختلف گرفته شده است.

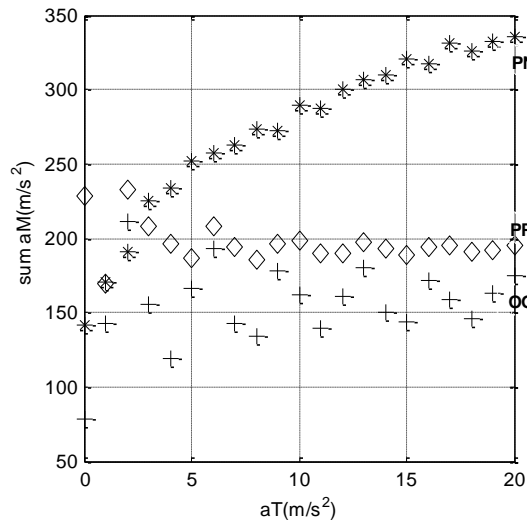
$$r_0 = 10000, V_T = 20, a_T = 0, \theta_0 = 90, \delta_0 = 30$$

که برای زوایای منفی δ_0 ، قانون هدایتی ناوبری تناسبی از حیث شتاب واردہ بر موشک عملکرد بہتری را داراست و بعد از آن بهترتب قوانین هدایت بهینه و تعقیب محض قرار می‌گیرند. این در حالی است که برای زوایای مثبت δ_0 ، ابتدا قانون هدایت بهینه و سپس قوانین تعقیب محض و ناوبری تناسبی قرار می‌گیرند.

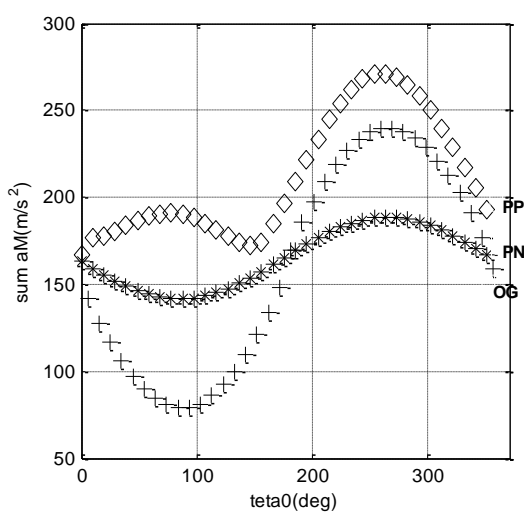


شکل ۱۰. مجموع شتاب موشک به ازای تغییر زاویه δ_0

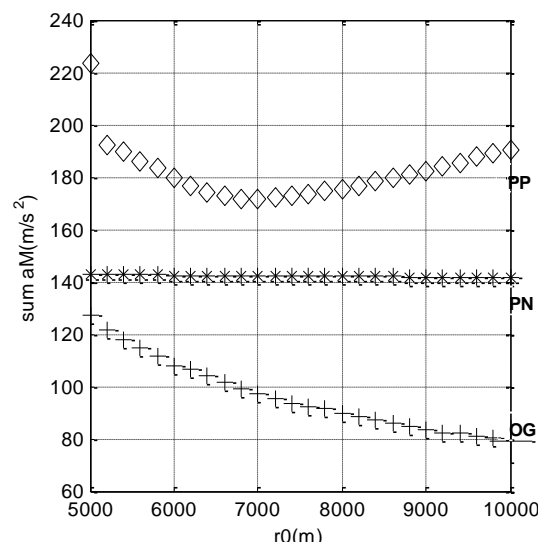
مشاهده رفتار سه قانون در نظر گرفته شده (شکل ۱۰)، می‌توان بیان کرد که هر سه قانون نسبت به تغییر این زاویه حساس می‌باشند و مجموع شتاب واردہ بر آنها تغییر می‌نمایند. به عبارت دیگر می‌توان بیان نمود پارامتر δ_0 برای هر سه قانون، یک پارامتر مهم و تأثیرگذار است. از طرفی از شکل ۱۰ مشخص است



شکل ۹. مجموع شتاب موشک به ازای تغییر شتاب هدف



شکل ۱۲. مجموع شتاب موشک به ازای تغییر زاویه θ_0

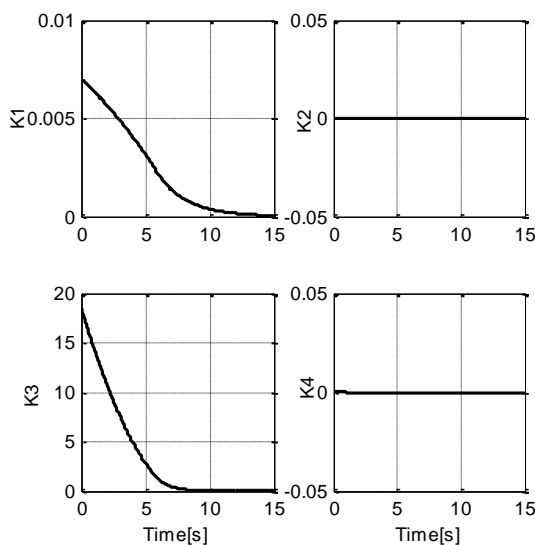


شکل ۱۱. مجموع شتاب موشک به ازای تغییر در برد

افزایش r_0 تغییر قابل توجهی در مقدار مجموع شتاب واردہ ایجاد نمی‌شود. با تغییر زاویه θ_0 و با توجه به شکل ۱۲، به عنوان اولین نتیجه می‌توان بیان کرد که هر سه قانون نسبت به این زاویه حساسیت دارند، اما حساسیت قانون هدایت بهینه نسبت به این زاویه در مقایسه با دو قانون دیگر بیشتر است و قانون ناوبری

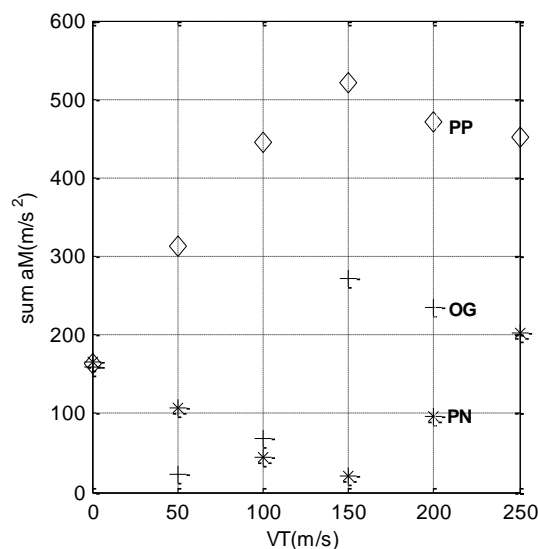
با تغییر برد اولیه (r_0)، مجموع شتاب واردہ بر موشک برای قوانین تعقیب محض و هدایت بهینه دارای تغییر می‌باشد و این نشان‌دهنده حساسیت این قوانین به پارامتر r_0 است (شکل ۱۱). اما در مورد رفتار قانون ناوبری تناسبی نسبت به تغییر برد اولیه می‌توان گفت که این قانون به پارامتر r_0 حساسیتی نداشته؛ زیرا با

بهینه نسبت به ناویری تناسی عملکرد بهتری دارند؛ زیرا حساسیت آنها به سرعت هدف ناچیز است. یکی دیگر از بررسی‌های انجام شده در این تحقیق، تعیین بهره غالب برای قانون هدایتی ارائه شده است تا به ازای شرایط مختلف، بهره غالب تعیین و بررسی گردد که رفتار این قانون به رفتار کدام بک از قوانین هدایتی کلاسیک شبیه است. لذا به ازای شرایط اولیه یکسان ($\delta_0 = 30^\circ$, $\theta_0 = 90^\circ$, $r = 10000\text{m}$) و برای سه حالت هدف ثابت، هدف با سرعت ثابت و هدف با سرعت متغیر، بهره‌های قانون هدایت بهینه در شکل‌های ۱۴ تا ۱۶ ترسیم شد.

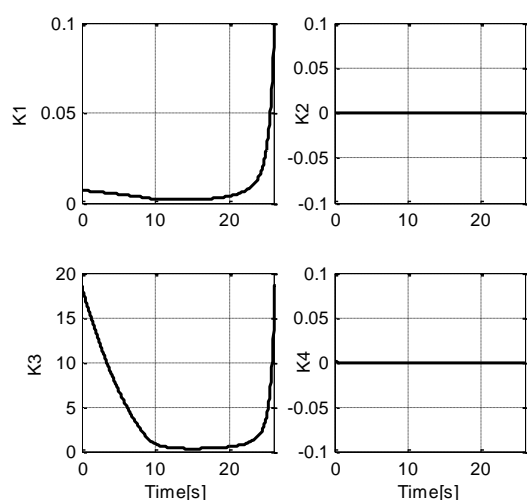


شکل ۱۴. بهره‌های قانون هدایت بهینه برای $a_T = 0$, $V_T = 0$

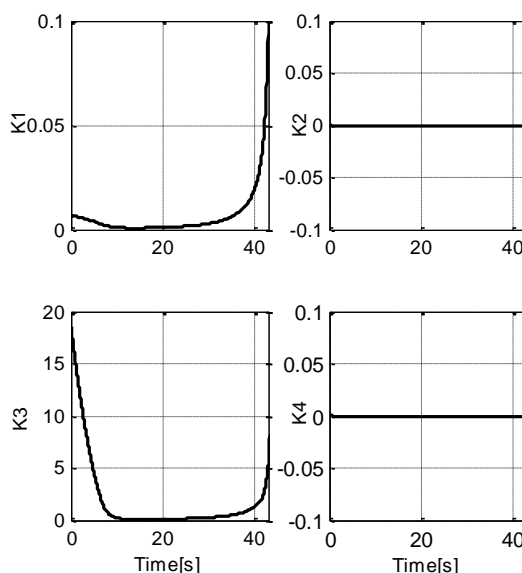
تناسی دارای کمترین حساسیت نسبت به این پارامتر است؛ زیرا با تغییر زاویه θ_0 ، دامنه تغییرات مجموع شتاب واردہ بر موشک تغییرات شدیدی را نشان نمی‌دهند. با تغییر سرعت هدف (V_T) از شکل ۱۳ دیده می‌شود که اولاً هر سه قانون نسبت به این پارامتر حساس‌اند و مجموع مقدار شتاب واردہ بر موشک به ازای تغییر آن، تغییر می‌کنند. از طرفی قوانین تعقب محض و هدایت بهینه با افزایش این پارامتر حساسیت خود را از دست داده و دارای تغییرات قابل توجهی در مجموع شتاب نمی‌شوند؛ لذا می‌توان بیان کرد که برای اهداف با سرعت بالا، قوانین تعقب محض و هدایت



شکل ۱۳. مجموع شتاب موشک به ازای تغییر در سرعت هدف



شکل ۱۵. بهره‌های قانون هدایت بهینه برای $a_T = 15$, $V_T = 200$



شکل ۱۶. بهره‌های قانون هدایت بهینه برای $a_T = 0$, $V_T = 100$

مجموع شتاب واردہ بر موشک، قانون هدایتی تعقیب محض عملکرد بهتری دارد. بعد از این قانون، قانون هدایت بهینه ارائه شده و در نهایت قانون هدایت ناوبری تناسبی قرار می‌گیرد. برای اهداف با سرعت ثابت، قانون هدایتی ناوبری تناسبی بهترین عملکرد را دارد و بعد از آن بهترتب قانون هدایت بهینه و قانون تعقیب محض قرار می‌گیرد. اگرچه در مورد این اهداف قانون هدایت بهینه در فواصل دور از هدف بهتر از قوانین کلاسیک عمل می‌نماید، اما با نزدیک شدن به هدف این قابلیت را از دست می‌دهد. نقطه قوت این روش، همان‌گونه که ادعا شده است، برای اهداف با قابلیت مانور بالا می‌باشد که نتایج حاکی از عملکرد مناسب و قابل توجه این روش نسبت به قوانین کلاسیک است. نکته قابل توجه دیگر آن که اگرچه قانون هدایت بهینه ارائه شده در مورد اهداف با قابلیت مانور کاملاً برتر می‌باشد، اما نتایج نشان می‌دهد که در مورد اهداف ثابت یا با سرعت ثابت نیز عملکرد قابل قبولی دارد. آنالیز حساسیت انجامشده نیز نشان‌دهنده آن است که هر سه قانون به تغییر پارامترهای مختلف حساس می‌باشند، بهجز قانون ناوبری تناسبی که به ازای تغییر برد، در مجموع شتاب واردہ بر آن تغییری حاصل نشده است. به عبارت دیگر تغییر در هر یک از پارامترها می‌تواند بر عملکرد قوانین هدایتی تأثیر قابل توجهی داشته باشد. بررسی دیگر تعیین بهره غالب برای قانون هدایتی بود که با شبیه‌سازی‌های مختلف و تحلیل نتایج مشخص شد بهره غالب مربوط به پارامتر δ است و این به معنای شباهت رفتاری قانون هدایت بهینه با قانون هدایتی کلاسیک تعقیب محض است.

در شکل‌های بالا، بهره k_1 متناظر با پارامتر α بهره k_2 متناظر با پارامتر θ ، بهره k_3 متناظر با پارامتر δ و نهایتاً بهره k_4 متناظر با پارامتر λ می‌باشند. با توجه به نمودارهای بهره‌های قانون هدایت بهینه به ازای شرایط مختلف، اولین نکته آن است که بهره‌های k_1 و k_3 می‌توانند جزء نامزدهای بهره غالب قرار گیرند؛ زیرا بر خلاف بهره‌های k_2 و k_4 مقداری مخالف صفر دارند و با گذشت زمان تغییر می‌نمایند. از طرفی با دقت به رفتار بهره k_1 مشخص است که اگرچه مقدار این بهره با افزایش سرعت و شتاب هدف افزایش می‌یابد ولی هنوز مقادیر قابل توجهی ندارد. لذا کاملاً مشخص است که بهره غالب قانون هدایت بهینه، بهره k_3 است و چون این بهره متناظر با پارامتر δ است به معنای آن است که قانون هدایت بهینه ارائه شده به ازای شرایط مختلف مانند قانون کلاسیک تعقیب محض رفتار می‌نماید.

۵. نتیجه‌گیری

در این تحقیق با استفاده از روش کنترل بهینه معادلات ریکاتی وابسته به حالت، یک قانون هدایتی ارائه و از لحاظ عملکردی به ازای شرایط اولیه مختلف، با قوانین هدایتی کلاسیک ناوبری تناسبی و تعقیب محض مقایسه شد. هدف از طراحی این قانون هدایتی، بهبود نقصان موجود در قوانین هدایتی کلاسیک برای اهداف با قابلیت مانور بالا و در عین حال ارائه یک قانون ساده بهصورت همزمان بوده است که با توجه به نتایج شبیه‌سازی به این اهداف دسترسی پیدا گردید. جدول ۱۹ مقایسه جامع و نهایی سه قانون مطرح شده را بهخوبی نشان می‌دهد. با توجه به نتایج موجود در جدول می‌توان بیان کرد که برای اهداف ثابت از حیث

جدول ۱۹. مقایسه سه روش هدایتی از حیث مجموع شتاب

اهداف ثابت	اهداف با سرعت ثابت	اهداف با سرعت متغیر
ناوبری تناسبی	تعقیب محض	ناوبری تناسبی
هدایت بهینه	هدایت بهینه	تعقیب محض
تعقیب محض	ناوبری تناسبی	هدایت بهینه

۶. مأخذ

[1] M. H. Sadraei, *Flight Control and Stability*, 3th Edition, Ayandehgan Publication Institute, 2009.
(فارسی)

[2] A. R. Babaei, M. Mortazavi, New lyapunov stability theory based guidance law for missiles against maneuvering targets, *Aerospace Mechanics Journal*, Vol. 2, No. 1, pp. 69-76, 2006. (in Persian)

- [3] N. F. Palumbo, R. A. Blauwkamp, J. M. Lloyd, Modern homing missile guidance theory and techniques, *Johns Hopkins APL Technical Design*, Vol. 29, No.1, pp. 42-60, 2010.

[4] R. Thangavelu, A differential evolution tuned optimal guidance law, *Proceedings of the 15th Mediterranean Conference on Control & Automation*, 2007.

[5] Jr. Bryson, Linear feedback solutions for minimum effort interception, rendezvous, and soft landing, *AIAA Journal*, Vol. 3, No. 8, pp. 1542-1544, 1965.

[6] R. G. Cottrell, Optimal intercept guidance for short-range tactical missile, *AIAA Journal*, Vol. 9, No.7, pp. 1414-1415, 1971.

[7] P. L. Vergez, Linear optimal guidance for an AIM-9L missile, *Journal of Guidance*, Vol. 4, No. 6, pp. 662-663, 1981.

[8] T. Cimen, State-Dependent riccati equation (SDRE) control: A survey, *Proceedings of the 17th World Congress the International Federation of Automatic Control*, 2008.

[9] X. Dao-cheng, W. Zhong-wei, Z. Wei-hua, Attitude controller for reentry vehicles using state-dependent riccati equation method, *Journal of Central South university*, Vol. 20, No. 7, pp. 1861-1867, 2013.

[10] M. H. Shafiei, T. Binazadeh, New approach to nonlinear guidance law design, *International Journal of Innovative Computing*, Vol. 8, No. 5, pp. 3061-3069, 2012.

[11] S. S. Moosapour, G. Alizadeh, S. Khanmohammadi, H. Moosapour, A novel nonlinear robust guidance law design based on SDRE technique, *International Journal of Aeronautical & Space Science*, Vol. 13, No. 3, pp. 369-376, 2012.

[12] H. T. Bank, B. M. Lewis, H. T Tran, Nonlinear feedback controllers and compensators: A state-dependent riccati equation approach, *Journal of Computational Optimization and Applications*, Vol. 37, No. 2, pp. 177-218, 2007.

[13] B. A. Steinfeldt, P. Tsotras, A state dependent riccati equation approach to atmospheric entry Guidance, *AIAA Guidance, Navigation and Control Conference*, 2010.

[14] S. Moosapour, G. Alizadeh, S. Khanmohammadi, Three-dimensional optimal robust guidance law design for missile using sliding-mode control and SDRE control, *Journal of control*, Vol. 6, No. 2, pp. 55-64, 2012. (in Persian فارسی)

[15] M. Bahrami, B. Ebrahimi, J. Roshanian, Optimal sliding-mode guidance law for fixed interval propulsive maneuvers, *IEEE International Symposium on Intelligent Control*, Vol. 21, No. 2, pp.1014-1018, 2006.